

立命館大学 理工学部 正 明石外世樹
正 尾崎 省二

1 まえがき

非破壊試験的コンクリートの厚さを測定する方法には、反射波を方向に1次共振をさせ、縦波速度に相当な方法で測定し、この両者から求める方法、連続波法を利用し、その位相速度と波長の関係から厚さを計算する方法、さらにこの逆を超音波パルス反射波から反射波の検出による方法などがある。

超音波パルスによる厚さを測定する技術は、わが国では1959年大阪大加藤教授、筆者、一人らにより、初めて成功している。またこの反射波による方法はコンクリート中のひびわれ、欠陥部の検出にも有用なものであるが、それ以降研究が一時中止の形となっていた。最近になって、米国では Howkins, Golis, Mailer によって、かなり研究工れているが満足されるような形がえられず、筆者らは最近、圧電材料の進歩と相まって今一度コンクリート厚測定の研究を初めたいので、米国よりかなり進歩していることを見ることが思っている。

2 測定原理

コンクリートの表面に図-1あるいは図-2のように発受振子と油圧を介して密着させるときは

$$\frac{2\sqrt{x^2+y^2}}{V_c} + \frac{2D}{V_w} = x + \Delta x = T$$

ここに、 $2x$ = 発受振子の中心距離、 y = 板厚、 V_c = コンクリートの縦波速度、 V_w = 水の縦波速度、 D = 水の中心厚、 T = 実測伝播時間

Δx = 測定器のずれ、図-1の場合は $D=0$ とする。

測定器の要求する問題点： 全金属探傷器に比べ困難なことは、(1)コンクリートを対象とした超音波の周波数取 200~300 kHz の程度で、この周波数で共振させるには、共振状態で使用する反射波が表面波にのみおこれること (2)表面波のエネルギーを消すには、発受振子の直径/波長の比を大きくすることである。このためにはモザイク状の振動子にする必要あり (3)非共振状態で発受振子を使用し、低Qにする必要あり (4)コンクリート中の粗骨材からの散乱波を少なくするために測定波長は長い方がよい (5)このためありで通電を波長が選べること。

3 測定器

測定器の構成を図-3に示す。Signal Generator は基本発振は 300 Hz ~ 400 kHz の連続波周波数は 60 ~ 300 Hz の 1~5 波以上の連続波に切替し、この上には、図-4 はこの構成を示す。Signal Amp は SEPP の真空管式とした。Pre-Amp はシンクロスコープ用の Pre-Amp とし、高利得用のものを使用した。発振子は従来のよりある程度タン酸バリウム磁器の円板に鉛のゲルペーストを六角形に配置したものと、ジルコニウム酸バリウムの円筒形のものを用いた。共振処理はモザイク状に配置したものを採用した。

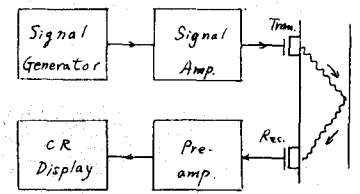


図-3 測定器の構成

4 測定結果

50x50x(20~30) cm の板でモルタルとコンクリートを使用し、

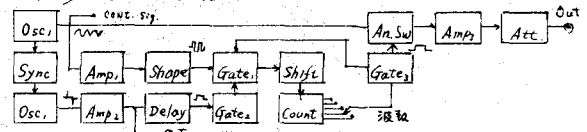


図-4 Signal Generator の構成

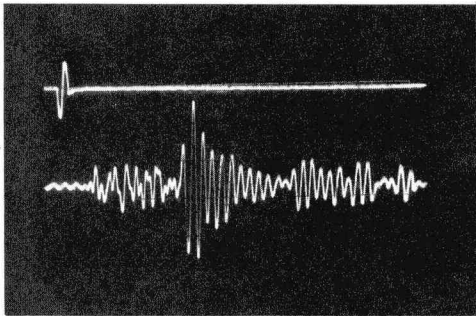


写真-1 モルタル, $y=30\text{cm}$, $f=63.94\text{kHz}$, $S=50\mu\text{s}/\text{cm}$ $\langle \text{ア} \cdot \text{シ} \cdot \text{シ} \rangle$

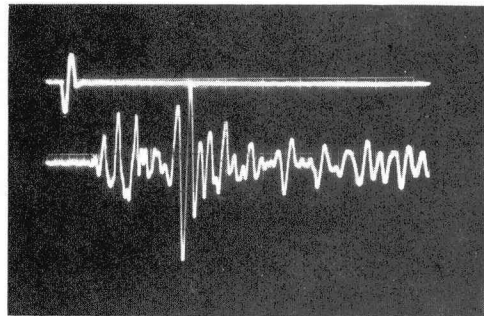


写真-2 コンクリート, $y=30\text{cm}$, $f=53.64\text{kHz}$, $S=50\mu\text{s}/\text{cm}$ $\langle \text{ア} \cdot \text{シ} \cdot \text{シ} \rangle$

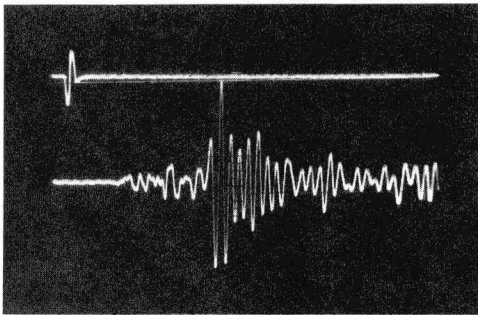


写真-3 モルタル, $y=30\text{cm}$, $f=67.81\text{kHz}$, $S=50\mu\text{s}/\text{cm}$ $\langle \text{ア} \cdot \text{シ} \cdot \text{シ} \rangle$

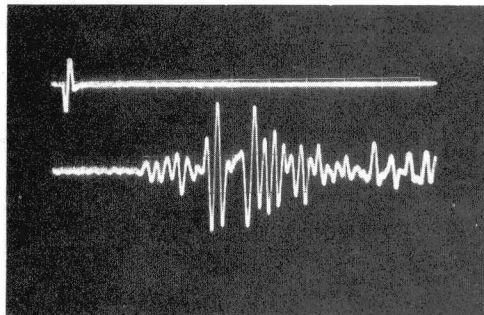


写真-4 コンクリート, $y=30\text{cm}$, $f=71.29\text{kHz}$, $S=50\mu\text{s}/\text{cm}$ $\langle \text{ア} \cdot \text{シ} \cdot \text{シ} \rangle$

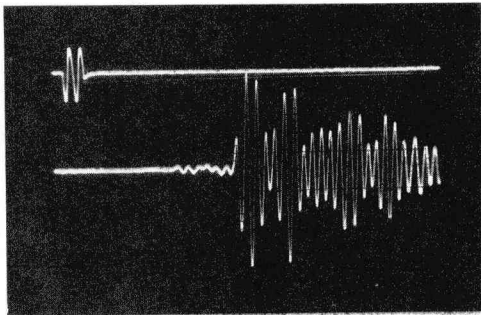


写真-5 モルタル, $y=30\text{cm}$, $f=68.21\text{kHz}$, $S=50\mu\text{s}/\text{cm}$ $\langle \text{ア} \cdot \text{シ} \cdot \text{シ} \rangle$

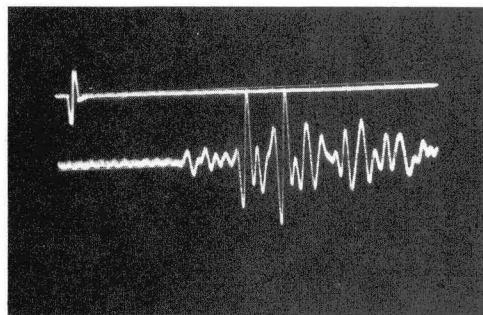


写真-6 コンクリート, $y=30\text{cm}$, $f=67.98\text{kHz}$, $S=50\mu\text{s}/\text{cm}$ $\langle \text{ア} \cdot \text{シ} \cdot \text{シ} \rangle$

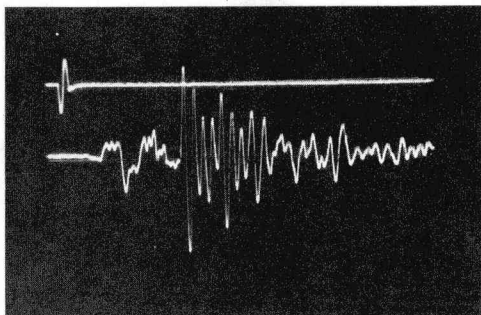


写真-7 モルタル, $y=30\text{cm}$, $f=68.85\text{kHz}$, $S=50\mu\text{s}/\text{cm}$ $\langle \text{ア} \cdot \text{シ} \cdot \text{シ} \rangle$

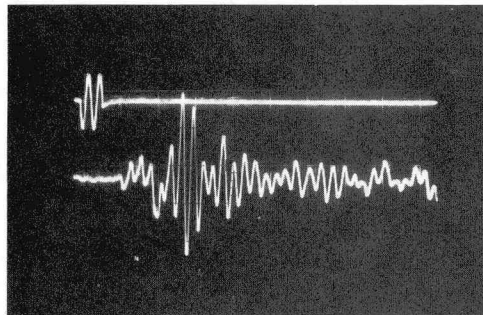


写真-8 コンクリート, $y=20\text{cm}$, $f=72.45\text{kHz}$, $S=50\mu\text{s}/\text{cm}$ $\langle \text{ア} \cdot \text{シ} \cdot \text{シ} \rangle$